

## الفصل الثاني

### التصادمات في البلازما

#### 1.2- مقدمة

البلازما هي وسط معقد جداً يحتوي عدداً كبيراً من الجسيمات المختلفة في طبيعتها. هذه الجسيمات عبارة عن أنواع كيميائية متعددة توجد عادة بأشكال مختلفة (ذرات، جزيئات، أيونات). تتحرك الإلكترونات المتحركة من الذرات والجزيئات أثناء تأثيرها ضمن هذا المزيج لضمان الاعتدال الكهربائي للوسط.

وبسبب التهيج الحراري لكلٍ من المكونات المذكورة أعلاه، تحصل تصادمات عديدة داخل البلازما، تسمح بتبادل الاندفاع والطاقة. هذه الظواهر ذات أهمية كبيرة في البلازما لأنها تسمح بالوصول إلى حالة التوازن (سنعود إلى هذه المسألة في الفصل الثالث). بغية وصف آلية التصادمات بشكل بسيط جداً سوف ندخل مقياسياً ملاحظة الوسط:

- المقياس الميكروسكopic، حيث إن الجسيمات ممثلة بنقاط مادية متحركة (النظرية الحركية)؛ وتدرس حركتها في جملة إحداثيات المخبر.

- المقياس تحت الميكروسكopic، حيث إن البنية الداخلية لهذه الجسيمات تُؤخذ بالحساب؛ وتدرس حركة مكوناتها العنصرية (النوى والإلكترونات المرتبطة بها) وذلك في جملة إحداثيات مرتبطة بمركز كتلتها.

تسمح هذه النظرية للبلازما بتعريف درجات حرية داخلية (تحت ميكروسكوبية) وخارجية (ميكروسكوبية) لكل جسيم فيها. تتعلق درجات الحرية الداخلية بعدد الإلكترونات المرتبطة وبالنوى الموجودة في الوسط. ويتعلق موضع واندفاع مركز كتلة الجسيم بمجموعة المتغيرات الداخلية. وتحسب مستويات الطاقة باستخدام الميكانيك الكوانتي. إذا كان الجسيم يملك نواة

واحدة (ذرة أو نواة) فإن مستويات الطاقة  $E_i^e$  تتعلق بتوزع الإلكترونات المرتبطة في الفضاء. إذا كان للجسيم (جزئية أو جزيئة متأينة) أكثر من نواة فإن هناك مستويات طاقة إضافية تنشأ بسبب حركة النوى. سنرمز لهذه المستويات بـ  $E_i^y$  (الاهتزازات المتعلقة بالمسافة بين النوى) و  $E_i^f$  (دوران الجزيئية في الفراغ).

وبشكل عام تكتب الطاقة الداخلية  $E_i$  بالشكل التالي:

$$E_i = E_i^e + E_i^y + E_i^f \quad (2.1)$$

فالوضع والاندفاع لمركز كتلة الجسيم هما المغيران الخارجيان اللذان يسمحان بوصف حركته في جملة الإحداثيات المرتبطة بالمخبر.

انطلاقاً من التحليل السابق، نرى أن التصادمات في البلازما تثير تغيرات في درجات الحرية الداخلية والخارجية. حين تكون الطاقة الداخلية ثابتة فالتصادمات تكون مرنة (elastic) وفي الحالة المعاكسة تكون غير مرنة (inelastic).

سوف نفرض، بغية تبسيط هذه الدراسة، بأن البلازمما ذات ضغط منخفض، وهي ممددة بما يكفي، كي تكون التصادمات بين جسيمين هي السائدة، ولكي تكون مدة التصادم أقصر بكثير من الزمن بين تصادمين متتاليين. تسمح هذه الفرضيات باعتبار الصدم كمسألة جسيمين (معزولين عن باقي الجملة)، وسوف تعالج الدينامية الميكروسโคبية بشكل منفصل عن المسألة الإحصائية [24,23].

ليكن  $(i)$  و  $(j)$  جسيمين قبل الصدم، و  $(k)$  و  $(l)$  جسيمين بعد الصدم، و  $i, j, k, l$  هي حالاتهما الداخلية (الإشارات الإلكترونية، والاهتزازية، والدورانية)، و  $\Delta E_{ij,kl}$  هو تغير الطاقة الداخلية الكلي أثناء عملية الصدم؛ يمكن أن نميز ثلاثة أنواع من التصادمات، الممثلة بالترتيب بحسب درجة التعقيد المتزايدة لها:

- التصادمات المرنة التي لا تغير حالات الطاقة الداخلية:

$$P(i) + Q(j) \rightarrow P(i) + Q(j) + \Delta E_{ij,kl} \quad (2.2)$$

$$\Delta E_{ij,ij} = 0 \quad \text{وأن:}$$

- التصادمات غير المرنة، التي تغير حالات الطاقة الداخلية للجسيمات:

$$P(i) + Q(j) \rightarrow P(i) + Q(j) + \Delta E_{ij,kl} \quad (2.3)$$

بشكل عام، من أجل أي تصادم، يكون:

$$\Delta E_{ij,kl} \neq 0$$

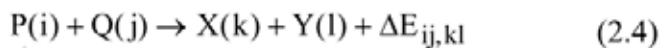
ولكن حين يكون التصادم تجاوبياً (أي حين يكون تبادل الطاقة تماماً بين الحالات  $i, j$  و  $l, k$ ) يكون:

$$\Delta E_{ij,kl} = 0$$

وحين يكون الصدم تجاوبياً تقريباً يكون:

$$\Delta E_{ij,kl} \approx 0$$

- التصادمات التفاعلية التي تعطي النواتج  $X(k)$  و  $Y(l)$  المختلفة عن الجسيمات البدائية:



$$\Delta E_{ij,kl} \neq 0 \quad \text{وأن:}$$

وهذا النوع من التصادم هو من النوع غير المرن.

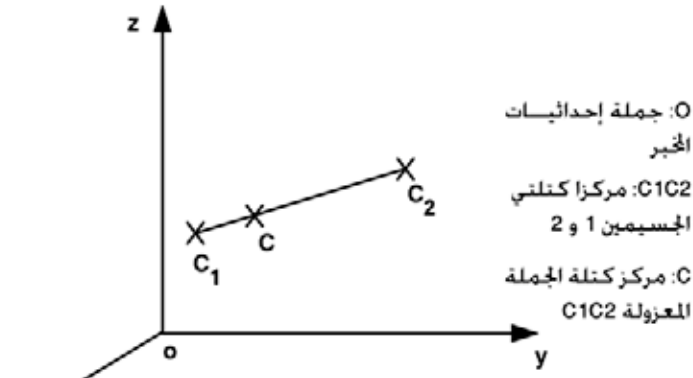
سندرس، بشكل عام، التصادمات باعتبار أن الجسيمين معزولان عن باقي الجملة. التصادمات المرنة، الأسهل دراسة، لا تغير الحالة الداخلية للجسيمات. وبالتالي فالجسيمات تعتبر في هذه الحالة نقطية ومتوضعة في مراكز كتلها  $C_1$  و  $C_2$  (الشكل 2.1). يتم الفعل المتبادل بينها بوساطة قوى (كولون، فان در فالس...). ويتلخص بطبيعة هذه الجسيمات (مشحونة، معتدلة، ...).

وبالتالي يمكن تحليل حركتها إلى حركة اثنين أثنتين [11]: حركة مركز كتلتها المشتركة  $C$  (بالنسبة لجملة إحداثيات المخبر) وحركة أخرى نسبية. إن الطريقة المختارة لحل هذه المسألة (الطريقة الكلاسيكية (التقليدية) أو الكوانطية (الكمومية)) تتعلق بالشروط الفيزيائية. ويصح التقرير الكلاسيكي إذا كانت العلاقة (1.24) محققة أي:

$$\lambda_B \ll d$$

حيث  $\lambda_B$  هو طول موجة دي بروي و  $d$  هي المسافة المتوسطة بين جسيمين. تتغير المسافة بين جسيمين أثناء عملية الصدم، وبالتالي نعرف طولاً مميزاً  $\delta$  ، يقدر بعده أنفسترومات [23] وبفرض أن:

$$\lambda_B \ll \delta \quad (2.5)$$



الشكل 2.1

في الحالة العملية،  $\delta$  هو من مرتبة المسافة التي تكون فيها الطاقة الكامنة للتفاعل (interaction)  $U(r)$  بين الجسيمين ذات تغير طفيف. عند كتابة الاندفاع  $p$  كتابع للطاقة الحركية  $K$ ، فإن طول موجة دي بروي يكتب بالشكل:

$$\lambda_B = \frac{h}{(2\mu K)^{1/2}} \quad (2.6)$$

حيث  $\mu$  هي الكتلة المختزلة [11].

عند أخذ العلاقة (2.6) بالحساب، تصبح المتراجحة (2.5) على النحو:

$$\frac{h}{(2\mu K)^{1/2}} \ll \delta \quad (2.7)$$

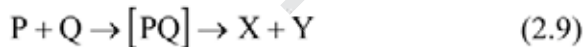
وتكون المتراجحة (2.7) محققة عندما تكون الطاقة الحركية والكتلة المختزلة كبيرتين. عندما تكون هذه الشروط محققة يدرس الصدم بالطريقة الكلاسيكية بدراسة مساري الجسيمين المتفاعلين  $C_1$  ،  $C_2$ . تحل المسألة بكتابة قوانين الانحفاظ للجملة المعزولة (الفقرة 2.2).

حين لا تكون المتراجحة (2.7) محققة، فالمسألة تحل بالطريقة الكوانتية [31-25] وتستبدل الجسيمات بحزمة موجبة (Wave packet) (الفقرة 2.3)، ولا يمكن تعين المسار في هذه الحالة بسبب ارتياح هايزنبرغ [27-25,10]. يبرهن في هذه الحالة أن الصدم بين جسيمين مكافئ لانتشار حزمة موجية ناتجة عن حالة كموم.

في حالة التصادمات غير المرنة، لا يمكن دراسة تبادلات الطاقة بين درجات الحرية الداخلية والخارجية بشكل كلاسيكي (مستويات الطاقة الداخلية تكون مكتملة). نستخدم إذاً نظرية هجينه (hybrid) تميز بين المتحولات الداخلية الكواントية والمحولات الخارجية الكلاسيكية: تدعى هذه النظرية بالنظرية شبه الكلاسيكية وتدعى أيضاً بتقريب الطريقة الكلاسيكية، تسمح المحولات الخارجية بحساب المسار الكلاسيكي للجسيم في حين أن المحولات الداخلية تكون ممثلة بتتابع موجبة [24,23]. على الرغم من أن هذا التقريب يسهل الدراسة إلا أن الآلية الميكروسโคبية تبقى على درجة عالية من التعقيد. حين يكون الجسيمان (i) P و (j) Q (ذرتان أو جزيئتان) متبعدين الأول عن الثاني (قبل وبعد التصادم) يمكن أن تقبل أنه لا يحصل أي تفاعل بينهما. حين يبدأ تقارب الجسيمين، وذلك من أجل مسافات من مرتبة بضعة أنسبرومات، تبدأ الطبقات الإلكترونية الخارجية للجسيم (i) P بالتأثير بنوى (j) Q والعكس بالعكس. يتم أشاء الصدم تشكل تجمع شبه جزيئي (quasi-molecular): إذا كان زمن الصدم  $\tau$  كبيراً بالنسبة لعمر الحالات شبه الجزيئية، فإنه يحصل تبادل بالطاقة بين درجات الحرية الداخلية. وذلك يحصل في الحالة العملية من أجل أزمنة تصادم:

$$\tau \approx \text{بضع } 10^{-12} \text{ إلى } 10^{-11} \text{ s} \quad (2.8)$$

وفي هذه الحالة يكون لدينا تصادم مركب (تغير مركب) يعبر عنه بـ:



يزداد احتمال هذا النوع من الآليات كلما كانت الجمل ذات عدد كبير من درجات الحرية.

## 2-2- النظرية التقليدية

### 2-2-1- وصف التصادم

ليكن التصادم مرناً بين جسيمين نقطيين معزولين  $M_1$  و  $M_2$  وفقاً لما هو مبين في الشكل 2.2.

نسمى O مبدأ الإحداثيات المرتبطة بالمخبر و C مبدأ الإحداثيات المرتبطة بمركز الكتلة [11] وبفرض أن:

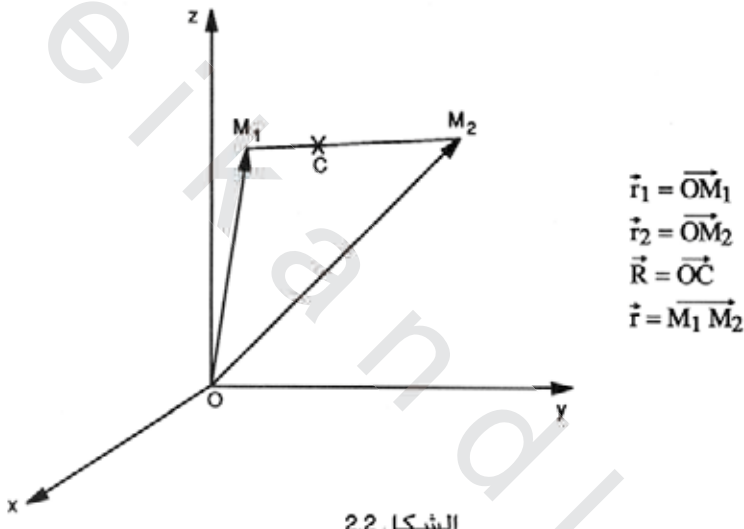
$$\vec{R} = \frac{m_1 \vec{r}_1 + m_2 \vec{r}_2}{m_1 + m_2} \quad (2.10)$$

$$\vec{r} = \vec{r}_2 - \vec{r}_1 \quad (2.11)$$

حيث إن  $\vec{R}$  هو شعاع مركز الكتلة و  $\vec{r}$  المسافة النسبية بين الجسيمين.

$$\vec{r}_1 = \vec{R} - \frac{m_2}{m_1 + m_2} \vec{r} \quad (2.12)$$

$$\vec{r}_2 = \vec{R} + \frac{m_1}{m_1 + m_2} \vec{r} \quad (2.13)$$



بما أن الجملة معزولة فإن الاندفاع الكلي يكون محفوظاً أثناء التصادم:

$$\frac{d}{dt} (m_1 \vec{w}_1 + m_2 \vec{w}_2) = 0 \quad (2.14)$$

بفرض أن الكتلتين  $m_1$  و  $m_2$  ثابتان مع الزمن فإنه وبعد اشتقاق (2.12)

و (2.13) نحصل على:

$$\vec{w}_1 = \vec{w}_c - \frac{m_2}{m_1 + m_2} \vec{w}_r \quad (2.15)$$

$$\vec{w}_2 = \vec{w}_c + \frac{m_1}{m_1 + m_2} \vec{w}_r \quad (2.16)$$

حيث  $\vec{w}_c$  هي سرعة حركة مركز الكتلة و  $\vec{w}_r$  هي السرعة النسبية.  
إذا عوضنا العلاقتين الأخيرتين في (2.14) نجد أن:

$$\frac{d}{dt} \vec{w}_c = 0 \quad (2.17)$$

أي إن مركز الكتلة يقوم بحركة مستقيمة منتظمة في جملة إحداثيات الخبر.

**2.2.2- جملة الإحداثيات المرتبطة بمركز الكتلة والحركة النسبية**  
بما أن جملة الجسيمين معزولة، فإن عزمها الحركي الكلي  $\vec{L}$  يكون  
محفوظاً أي إن:

$$\vec{L} = \vec{L}_1 + \vec{L}_2 \quad (2.18)$$

وأن:

$$\vec{L}_i = \vec{r}_i \wedge m_i \vec{w}_i \quad (2.19)$$

وبتعويض  $\vec{r}$  من (2.16,2.15) و  $\vec{w}$  من (2.13,2.12) في العلاقة (2.18) نحصل على [11]:

$$\vec{L} = \vec{L}_c + \vec{L}_r \quad (2.20)$$

حيث  $\vec{L}_c$  يرمز للعزم الحركي لمركز الكتلة و  $\vec{L}_r$  للعزم الحركي النسبي، ويعطيان بالعلاقتين:

$$\vec{L}_c = \vec{R} \wedge M \vec{w}_c \quad (2.21)$$

$$\vec{L}_r = \vec{R} \wedge \mu \vec{w}_r \quad (2.22)$$

وأن:

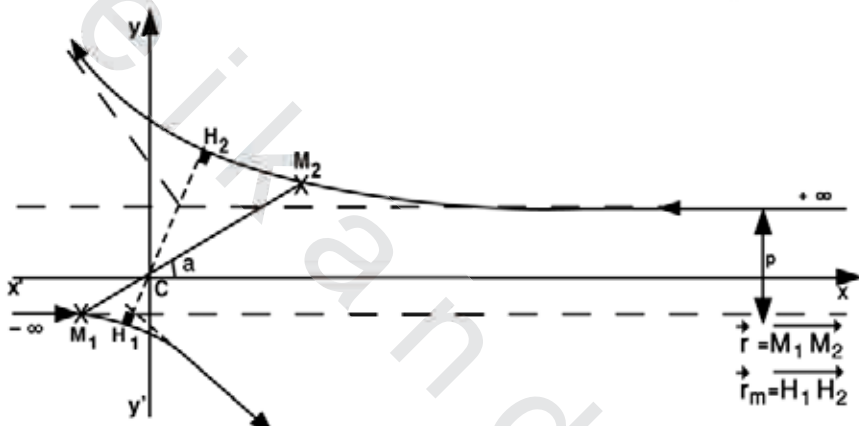
$$M = m_1 + m_2 \quad (2.23)$$

$$\mu = \frac{m_1 m_2}{m_1 + m_2} \quad (2.24)$$

حيث  $M$  هي الكتلة الكلية و  $\mu$  هي الكتلة المختزلة.  
باشتقاء العلاقة (2.21)، وباستخدام خصائص الجداء الشعاعي والعلاقة (2.17) يبرهن بأن العزم الحركي لمركز الكتلة  $\vec{L}_c$  يبقى محفوظاً. ونستنتج أن  $\vec{L}_r$  يبقى محفوظاً أيضاً، نظراً لأن العزم الحركي الكلي  $\vec{L}$  من العلاقة (2.20).

يكون محفوظاً أثناء الصدم، يبقى الجسيمان ومركز كتلتيهما في مستوى متعامد مع  $\bar{L}$ ؛ وبالتالي يمكن دراسة الصدم في مستوى باختيار جملة الإحداثيات المرتبطة بمركز الكتلة C (الشكل 2.3).

وعندما تكون المسافة بين الجسيمين لا نهائية يكون مساراهما عبارة عن مستقيمين (لا يوجد تفاعل بين الجسيمين). لنفرض أنهما موازيان للمحور  $x$ ، نسمي المسافة بينهما وسيط التصادم بحسب المحور  $y$  (الشكل 2.3). يتعين موضع  $M_1$  و  $M_2$  بالمسافة النسبية بينهما  $a$  والزاوية  $\alpha$  الكائنة بين القطعة المستقيمة  $M_1 M_2$  والمحور  $x$ .



الشكل 2.3

نحصل على إحداثيات  $M_1$  و  $M_2$  اعتماداً على العلاقات (2.12) و (2.13) بعد الأخذ بالحساب أن  $\bar{R}$  يساوي الصفر في جملة الإحداثيات المرتبطة بمركز الكتلة [11] :

$$\begin{aligned} x_1 &= -\frac{m_2}{m_1 + m_2} r \cos \alpha \\ y_1 &= -\frac{m_2}{m_1 + m_2} r \sin \alpha \end{aligned} \quad (2.25)$$

و:

$$\begin{aligned} x_2 &= -\frac{m_1}{m_1 + m_2} r \cos \alpha \\ y_2 &= -\frac{m_1}{m_1 + m_2} r \sin \alpha \end{aligned} \quad (2.26)$$

والطاقة الحركية الكلية:

$$K = \frac{1}{2} m_1 w_1^2 + \frac{1}{2} m_2 w_2^2 \quad (2.27)$$

يمكن كتابة K بحسب السرعات انطلاقاً من (2.25) و (2.26):

$$\begin{aligned} w_1^2 &= \left( \frac{m_2}{m_1 + m_2} \right)^2 \left[ \left( \frac{dr}{dt} \right)^2 + r^2 \left( \frac{d\alpha}{dt} \right)^2 \right] \\ w_2^2 &= \left( \frac{m_1}{m_1 + m_2} \right)^2 \left[ \left( \frac{dr}{dt} \right)^2 + r^2 \left( \frac{d\alpha}{dt} \right)^2 \right] \end{aligned} \quad (2.28)$$

ومنه:

$$K = \frac{1}{2} \mu \left[ \left( \frac{dr}{dt} \right)^2 + r^2 \left( \frac{d\alpha}{dt} \right)^2 \right] \quad (2.29)$$

حيث ترمز  $\mu$  للكتلة المختزلة المعرفة في (2.24).

نحصل على العزم الحركي الكلي لهذه الحركة المستوية اعتماداً على

التعريفين (2.18) و (2.19):

$$|\vec{L}| = x_1 m_1 w_{y1} - y_1 m_1 w_{x1} + x_2 m_2 w_{y2} - y_2 m_2 w_{x2} \quad (2.30)$$

ونجد عند التعبير عن الموضع والسرعات اعتماداً على (2.25) و (2.26)

أنَّ

$$|\vec{L}| = \mu r^2 \frac{d\alpha}{dt} \quad (2.31)$$

يمكن التعبير عن الطاقة الحركية والعزم الحركي بحذف الزاوية  $\alpha$

(الشكل 2.3):

$$p = r \sin \alpha \quad (2.32)$$

ومنه:

$$\cos \alpha \frac{d\alpha}{dt} = - \frac{p}{r^2} \frac{dr}{dt} \quad (2.33)$$

وباستخدام (2.32) أيضاً نجد:

$$\frac{d\alpha}{dt} = - \frac{p}{r^2 (1 - p^2 / r^2)^{1/2}} \frac{dr}{dt} \quad (2.34)$$

وتصبح العلاقات (2.29) و (2.31):

$$K = \frac{1}{2} \mu \left( \frac{dr}{dt} \right)^2 \left[ 1 + \frac{p^2 / r^2}{(1 - p^2 / r^2)} \right] \quad (2.35)$$

$$|\vec{L}| = \frac{\mu p}{(1 - p^2 / r^2)^{1/2}} \frac{dr}{dt} \quad (2.36)$$

ومن العلاقات السابقة، يمكن استنتاج الطاقة الحركية والعزم الحركي في اللحظة الابتدائية (حين يكون الجسيمان في اللانهاية قبل الصدم) وذلك كما يلي:

$$g_0 = \frac{dr}{dt} = |\vec{w}_1 - \vec{w}_2|_0 \quad (2.37)$$

ترمز  $g_0$  للسرعة النسبية (السرعتان  $\vec{w}_1$  و  $\vec{w}_2$  متوازيتان).

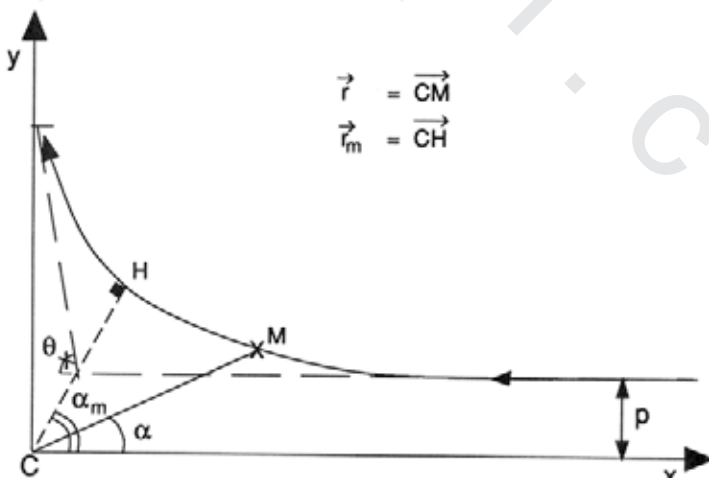
حين يقع الجسيمان في اللانهاية (الشكل 2.3) يكون دوماً  $r \gg p$  (2.38)

وبالتالي ضمن هذه الشروط تصبح العلاقات (2.35) و (2.36) على الشكل:

$$K_0 = \frac{1}{2} \mu g_0^2 \quad (2.39)$$

$$|\vec{L}_0| = \mu p g_0 \quad (2.40)$$

يظهر تحليل النتائج السابقة أنَّ الحركة المستوية المذكورة أعلاه تكون مكافئة لحركة متحرك وهي  $M$  ذي كتلة  $m$  يتحرك حول مركز قوة  $C$  ثابت (الشكل 2.4) حيث ترمز  $\vec{r}_m$  لمسافة الاقتراب الأصغر. ومن الجدير بالذكر أنَّ العلاقات (2.29)، (2.30) و (2.40) تبقى صالحة للاستخدام ضمن هذا التمثيل الجديد للصدام.



الشكل 2.4

### 3.2.2- المعادلة القطبية للمسار وزاوية الانحراف:

نحصل على الزاوية القطبية للمسار بكتابه قانون انحفاظ الطاقة والعزم

الحركي للجملة المعلوقة:

$$K_0 + U_0 = K + U \quad (2.41)$$

$$|\vec{L}_0| = |\vec{L}| \quad (2.42)$$

حيث يرمز  $(r)U$  لطاقة التفاعل الكامنة والتي سنفترضها متساوية للصفر

حين تكون الجسيمات في اللانهاية أي:

$$U_0(\infty) = 0 \quad (2.43)$$

باستخدام (2.29) و (2.31) و (2.39) و (2.40)، تصبح معادلات الانحفاظ،

(2.42) و (2.43) على النحو:

$$\frac{1}{2} \mu g_0^2 = \frac{1}{2} \mu \left[ \left( \frac{dr}{dt} \right)^2 + r^2 \left( \frac{d\alpha}{dt} \right)^2 \right] + U(r) \quad (2.44)$$

$$\mu p g_0 = \mu r^2 \frac{d\alpha}{dt} \quad (2.45)$$

بحذف الأجزاء القطبية في كل من (2.44) و (2.45) نجد أن:

$$\frac{1}{2} \mu g_0^2 = \frac{1}{2} \mu \left[ \left( \frac{dr}{dt} \right)^2 + \frac{p^2 g_0^2}{r^2} \right] + U(r) \quad (2.46)$$

ومنه:

$$\left( \frac{dr}{dt} \right)^2 = g_0^2 \left[ 1 - \frac{p^2}{r^2} - \frac{U(r)}{\frac{1}{2} \mu g_0^2} \right] \quad (2.47)$$

يعبر عن الجزء الأول من التصادم (قبل الصدم)، بأخذ القيمة السالبة للجذر

التربيعي من (2.47) أي:

$$\frac{dr}{dt} = -g_0 \left[ 1 - \frac{p^2}{r^2} - \frac{U(r)}{\frac{1}{2} \mu g_0^2} \right]^{1/2} \quad (2.48)$$

ونستنتج المعادلة القطبية بكتابه:

$$\frac{dr}{dt} = \frac{dr}{d\alpha} \frac{d\alpha}{dt} \quad (2.49)$$

باستخدام (2.45) و (2.48) نجد:

$$\frac{dr}{dt} = -\frac{r^2}{p} \left[ 1 - \frac{p^2}{r^2} - \frac{U(r)}{\frac{1}{2} \mu g_0^2} \right]^{1/2} \quad (2.50)$$

تتعلق مسافة الاقتراب الأصغرية  $r_m$  بنقطة انحناء أعظمي للمسار أي:

$$\frac{dr}{d\alpha} \Big|_{r_m} = 0 \quad (1.51)$$

ومنه:

$$1 - \frac{p^2}{r_m^2} - \frac{U(r_m)}{\frac{1}{2} \mu g_0^2} = 0 \quad (2.52)$$

حين يكون الصدم بين الجسيمين جبهياً (وسيط الصدم P معدوم) يتحرك الجسمان على مسار واحد معرف بالمستقيم الواصل بين النقطتين  $M_1$  و  $M_2$  (الشكل 2.3). وتكون حركتهما إذاً وحيدة البعد (موازية لـ  $x'$ ) ويوقفان (حين يكون الفعل المتبادل تناهرياً) على مسافة أصغرية  $r_c$  (المسافة الصغرى للاقتراب) قبل أن ترتد عائدة على خطاهما. وتكون طاقتها الحركية معدومة على المسافة  $r_c$  وتصبح طاقتها الكامنة أعظمية (بفضل الانفراط الكلي للطاقة). في هذه الحالة الخاصة حين يكون وسيط التصادم معدوماً يكون:

$$1 - \frac{U(r_c)}{\frac{1}{2} \mu g_0^2} = 0 \quad (2.53)$$

وبالتالي يمكن كتابة المعادلة القطبية (2.50) :

$$\frac{dr}{d\alpha} = -\frac{r^2}{p} \left[ 1 - \frac{p^2}{r^2} - \frac{U(r)}{U(r_c)} \right]^{1/2} \quad (2.54)$$

ونستنتج بالتكاملة الزاوية الصغرى للاقتراب، وهي:

$$\alpha_m = \int_{r_m}^{\infty} \frac{p dr / r^2}{\left[1 - p^2 / r^2 - U(r) / U(r_c)\right]^{1/2}} \quad (2.55)$$

حيث  $r_m$  هي حل المعادلة (2.52).

ونحصل على زاوية الانحراف  $\theta$  (الشكل (2.4)) وفقاً لـ:

$$\theta = \pi - 2\alpha_m \quad (2.56)$$

ومنه:

$$\theta = \pi - 2 \int_{r_m}^{\infty} \frac{p dr / r^2}{\left[1 - p^2 / r^2 - U(r) / U(r_c)\right]^{1/2}} \quad (2.57)$$

### 3.2- النظرية الكوانتية

#### 1.3.2- وصف التصادم

ليكن تصادم ذرتين أو جزيئتين ممثلتين بـ (i) و (j). لنفرض أنهما

يشكلان جملة معزولة ذات هاملتوني محفوظ، والذي يكتب على النحو:

$$H_0(\eta, \xi) = K_l(\eta) + K_r(\xi) + U_{lr}(\eta, \xi) \quad (2.58)$$

وأن:

$$U_{lr}(\eta, \xi) = U_l(\eta) + U_r(\xi) + U(\eta, \xi) \quad (2.59)$$

حيث  $\eta$  و  $\xi$  هما بالترتيب الإحداثيات المعممة للنوى والإلكترونات المرتبطة

في جملة إحداثيات المخبر. وتأخذ الطاقتان الحركية والكامنة  $K$  و  $U$  بالحسبان

جميع نوى والإلكترونات الجسيمين المعتدلين (i) و (j) ، أي:

$$K_l(\eta) = \sum_{k=1}^{N_e} \frac{p_k^2}{2m_k} \quad (2.60)$$

$$K_r(\xi) = \sum_{l=1}^{N_e} \frac{p_l^2}{2m_l} \quad (2.61)$$

$$U_l(\eta) = \sum_{k=1}^{N_e-1} \sum_{l=1}^{N_e} \frac{Z_k Z_l e^2}{|\vec{\eta}_k - \vec{\eta}_l|} \quad (2.62)$$

$$U_r(\xi) = \sum_{k=1}^{N_e-1} \sum_{l=1}^{N_e} \frac{e^2}{|\vec{\xi}_k - \vec{\xi}_l|} \quad (2.63)$$

$$U(\eta, \xi) = \sum_{k=1}^{N_e} \sum_{l=1}^N \frac{-Z_l e^2}{|\xi_k - \eta_l|} \quad (2.64)$$

حيث  $m_k$  هي كتلة كل نواة و  $m_e$  هي كتلة الإلكترون. في الحالة العملية يكون مركز الكتلة لهذه الجملة معيناً بشكل أساسي من النوى لأن كتلة الإلكترونات صغيرة جداً (كتلة البروتون أكبر تقريرياً بألف مرة من كتلة الإلكترون). من جهة أخرى من أجل الطاقات الحرارية التي تكون أقل من بضعة إلكترون-فولت [23]، الإلكترونات المرتبطة لها حركة عشوائية أكبر بكثير من حركة النوى. هذا يسمح بتقريب أولي باعتبار أن الإلكترونات "سريعة" (الدليل 2) والنوى بطيئة (الدليل 1). وبما أن مقياس الزمن ليس نفسه بالنسبة للنوى وال الإلكترونات المرتبطة نقبل أن النوى تتحرك ببطء (بشكل كظوم) في حين أن الإلكترونات تعيد تنظيم نفسها بشكل شبه لحظي في الفراغ. هذا يعني أن التفاعلات بين الإلكترونات والنوى لا تحدث وفق آليات فردية، فالنوى لا تتأثر إلا بالأفعال الوسطية (في الزمن) المتولدة عن مجمل الغمام الإلكترونية.

تسمح هذه الملاحظات الفيزيائية بمعالجة الأيونات وال الإلكترونات المرتبطة كلًا على حدة أثناء عملية الصدم، وهي تشكل الأساس الذي يقوم عليه تقريب بورن-أوبنهايمر Born-Oppenheimer . [23]

### 2.3.2- إحداثيات مركز الكتلة وتقريب بورن-أوبنهايمر

يمكن تجزئة الهاamiltonي الكامل للجملة (2.58) في جملة الإحداثيات المخبرية إلى ثلاثة حدود يصف كل منها حد الصدم ضمن جملة مناسبة. ويكتب هذا الهاamiltonي على النحو:

$$H_0 = H_{c/0} + H_{c1c2/c} + H_{c1} + H_{c2} \quad (2.65)$$

يصف الحد الأول،  $H_{c/0}$  ، حركة مركز الكتلة للجسيمين (ذرة، جزيئه) ضمن إحداثيات المخبر O (الشكل 1.2). وبما أن الجملة معزولة، فحركة المركز C مستقيمة منتظمة، ويعطي التمثيل الكواواني لها على شكل موجة مستوية وحيدة التواتر أو اللون [11].

ويعبر الحد الثاني،  $H_{c_1 c_2}$  /  $c$  ، عن الحركة النسبية لمركز الكتلتين  $C_1$  و  $C_2$  (الشكل 1.2) في جملة إحداثيات مركز الكتلة المشتركة  $C$ . ويسمح الحد الثالث،  $H_{c_1} + H_{c_2}$  ، بوصف الحركات الخاصة للمركبات العنصرية لكل جسيم ضمن جملة إحداثيات مترتبة بمركز كتلته ( $C_1$  أو  $C_2$ ). مع الأخذ بالحسبان الملاحظات الفيزيائية التي ذكرت سابقاً، يبدو من الواضح أن النوى والإلكترونات المرتبطة، كتقريب أولي، يمكن أن تدرس بشكل منفصل. بغية عدم تعقيد الدراسة سنكتفي بدراسة الهايبلتوني المرتبط بجملة إحداثيات المخبر (2.58)، ويكون التحليل نفسه حين تكون في جملة الإحداثيات المرتبطة بمركز الكتلة (خيار لا غنى عنه من أجل دراسة دقيقة). يقوم تقريب بورن-أوبنهايمر على كتابة الهايبلتوني للجملة (2.58) على الشكل التالي:

$$H_0(\eta, \xi) = H_r(\eta, \xi) + K_r(\eta) \quad (2.66)$$

وأن:

$$H_r(\eta, \xi) = K_r(\xi) + U_r(\eta, \xi) \quad (2.67)$$

يمثل الجزء  $H_r(\eta, \xi)$  ، المركبة السريعة، التي تتضمن الطاقة الكامنة للتفاعل بين النوى.

وتسمح المركبة البطيئة ( $\eta$ )  $K_r(\eta)$  بوصف حركة النوى (أي عملياً حركة مراكز الكتلة  $C_1$  و  $C_2$ ) مع الأخذ بالحسبان نسبة الكتلتين بين الإلكترون - نواة. مع اعتبار  $\psi(t)$  شعاع الحالة للجملة المعزولة، تكتب معادلة شرودنغر

: [25]

$$H_0 \left| \psi(t) \right\rangle = i \hbar \frac{d}{dt} \left| \psi(t) \right\rangle \quad (2.68)$$

نفرض، كمرحلة أولى، أن الإلكترونات المرتبطة تقع في حالات مستقرة وأن النوى غير متحركة أي: .

$$H_r \left| \phi_n \right\rangle = \varepsilon_n \left| \phi_n \right\rangle \quad (2.69)$$

تكون الأشعة الذاتية  $\left| \phi_n \right\rangle$  متعامدة ومستقرة:

$$\langle \phi_n | \phi_{n'} \rangle = \delta_{nn'} \quad (2.70)$$

وتحقق علاقة الانغلاق:

$$\sum_n |\varphi_n\rangle \langle \varphi_n| = 1 \quad (2.71)$$

نشر شعاع الحالة  $\psi(t)$  على الأساس  $\{\varphi_n\}$  باستخدام:

$$|\psi(t)\rangle = \sum_{n'} a_{n'}(t) |\varphi_{n'}\rangle \quad (2.72)$$

حيث:

$$a_{n'}(t) = \langle \varphi_{n'} | \psi(t) \rangle \quad (2.73)$$

التي تمثل مركبة  $\psi(t)$  على  $|\varphi_{n'}\rangle$ .

وتصبح معادلة شروdonfer (2.68) بعد الأخذ بالحساب (2.66) و (2.72) على

النحو:

$$[H_r + K_1] \sum_{n'} a_{n'}(t) |\varphi_{n'}\rangle = i\hbar \frac{d}{dt} \sum_{n'} a_{n'}(t) |\varphi_{n'}\rangle \quad (2.74)$$

أو باستخدام (2.69):

$$\sum_{n'} a_{n'}(t) K_1 |\varphi_{n'}\rangle + \sum_{n'} a_{n'}(t) \epsilon_{n'} |\varphi_{n'}\rangle = i\hbar \frac{d}{dt} \sum_{n'} a_{n'}(t) |\varphi_{n'}\rangle \quad (2.75)$$

نسقط (2.75) على الأساس  $\{\varphi_n\}$ ، فتجد أنه بالأخذ بالحساب (2.70)

يكون:

$$\epsilon_n a_n(t) + \sum_{n'} C_{nn'}(t) a_{n'}(t) = i\hbar \frac{da_n}{dt} \quad (2.76)$$

بافتراض أن:

$$C_{nn'}(t) = \langle \varphi_n | K_1 | \varphi_{n'} \rangle \quad (2.77)$$

حيث إن  $C_{nn'}$  هو معامل الترابط بين المستويات المستقرة.

نلاحظ فوراً أن الحالة  $\psi(t)$  تتعلق بمعامل الترابط (2.77)، لأن المركبات  $a_n(t)$ ، حل المعادلة (2.76)، تتبع هي نفسها لـ  $C_{nn'}(t)$ . وبالتالي يؤدي اختيار التقرير على حدود الترابط دوراً مهماً في وصف حالة التصادم، أي المرحلة الأخيرة من تقرير بورن-أوبنهايمير، الذي يعتبر الحركة البطيئة للنوى، التي ستدرس بشكل تقليدي (تقرير الطريقة التقليدية).

### 3.3.2- التقرير الكظوم ووسيط ماسي Massey

الفرضية الأسهل التي يمكن افتراضها هي أن لا يكون هناك ترابط بين

المستويات، مما يسمح بكتابه (2.76) :

$$\epsilon_n a_n(t) = i \hbar \frac{da_n}{dt} \quad (2.78)$$

وبحل المعادلة (2.78)، تصبح حالة الجملة (2.72) :

$$|\psi(t)\rangle = \sum_{n'} b_{n'} e^{-i\epsilon_{n'} t / \hbar} |\varphi_{n'}\rangle \quad (2.79)$$

حيث  $b_{n'}$  هو ثابت التكامل.

يفترض التقرير الكظوم أنه لا يحصل تغير في الحالة الداخلية عند الصدم.

فإذا كانت  $\epsilon_n$  هي حالة مستقرة معطاة (حل لمعادلة القيم الذاتية (2.69)) قبل الصدم، فإن الجملة تبقى في هذه الحالة بعد الصدم، مما يسمح بالاحتفاظ فقط بالحد المتعلق به في النشر (2.79) أي:

$$|\psi(t)\rangle = b_n e^{-i\epsilon_n t / \hbar} |\varphi_n\rangle \quad (2.80)$$

إذا كان حد الترابط (2.77) لا يساوي الصفر، تصبح المركبات  $a_n(t)$  و  $|\psi(t)\rangle$  حلول المعادلة (2.76)، تابع لموضع النوى  $\epsilon_n$  ( $C_{nn'}(t)$ ) تتعلق به  $(\eta)$ . ويصبح إذاً من غير الممكن معالجة مركبات الصدم بشكل منفصل. ونتيجة لذلك، تصبح كذلك الطاقة  $\epsilon_n$  ( $\eta$ ) لأن الإلكترونات والنوى تتحرك معاً في الفراغ (في التقرير الكظوم)، لا تتعلق به، النوى يفترض أنها ثابتة). بسبب هذه الحركة الإجمالية، يتصل بالزمن ويصبح حل المعادلة (2.76) معقداً، لأن  $\epsilon_n$  لم تعد ثابتة (تابع ضمني للزمن). وأخيراً، بغية تبسيط (2.76)، نكتب  $a_n(t)$  بشكل قريب من المركبة (2.80) بافتراض:

$$a_n(t) = b_n(t) \exp\left[-\frac{i}{\hbar} \int \epsilon_n dt\right] \quad (2.81)$$

حيث إن  $b_n$  و  $\epsilon_n$  تابعان للزمن.

بتعميض (2.81) في (2.76) والضرب بالمرافق العقدي نحصل على:

$$i\hbar \frac{db_n}{dt} = \sum_{n'} \langle \varphi_n | K_1 | \varphi_{n'} \rangle b_{n'}(t) \exp\left[-\frac{i}{\hbar} \int (\epsilon_{n'} - \epsilon_n) dt\right] \quad (2.82)$$

يعبر الحد الأسّي عن تغير الحالة الداخلية أثاء الصدم، الترابط (الذى يمكن أن يعتبر كاضطراب perturbation) معطى عن طريق تمثيل المؤثر ( $\eta$ ) بـ  $K_1$  بوساطة الأساس  $\{ \varphi_n \}$ . وفي حالة الترابط المعدهم نجد جيداً نتائج التقرير الكظوم. بعد التحليل السابق يبقى أن نحدد عند أي شروط يكون التقرير الكظوم مطبياً. لهذا سنعتبر نواة تتحرك باتجاه معين في الفراغ ولنرمز  $\Delta\eta$  للمسافة التي تقطعها النواة بين تغيرين للحالة الداخلية ندعوهما  $(\eta)_n$  و  $(\eta + \Delta\eta)_n$ . بمقارنة  $\Delta\eta$  بالمسافة التي يحصل عندها الصدم يمكن أن نستنتج مجالات التطبيق التالية:

- إذا كانت  $\Delta\eta$  من مرتبة طول الصدم نفسها، لا يحصل تغير للحالة أثاء الصدم ويبقى التقرير الكظوم قابلاً للاستخدام.
  - في الحالة المعاكسة، لا تكون فرضية الكظوم قابلة للاستخدام بسبب تبادلات الطاقة بين درجات الحرية الداخلية والخارجية.
- نقول إن فرضية الكظوم تصبح أقرب للحقيقة كلما كبرت  $\Delta\eta$ . ويمكن أن تلخص الشروط السابقة بإدخال وسيط ماسي. وهكذا يكون النشر التالي:

$$\varepsilon_n(\eta + \Delta\eta) - \varepsilon_n(\eta) = \varepsilon_n(\eta) + \Delta\eta \frac{\partial \varepsilon_n}{\partial \eta} - \varepsilon_n(\eta) \quad (2.83)$$

يمثل الحد  $\Delta\eta \frac{\partial \varepsilon_n}{\partial \eta}$  الانحراف عن حالة الانتقال الآنية (من دون تغير موضع النواة) بين حالتين مستقرتين. وكلما كبر هذا الحد كانت الحالة المستقرة أكثر استقراراً، وهو الشرط الذي نبحث عنه لتطبيق التقرير الكظوم. ويكون معامل ماسي معروفاً بلاحظة أنَّ تكامل المعادلة (2.83) على الزمن، يمثل (بتقرير قدرة  $\eta$ ) صفححة الأسّ في المعادلة (2.82). وعليه فإنَّ:

$$\gamma = \frac{1}{\hbar} \int \Delta\eta \frac{\partial \varepsilon_n}{\partial \eta} dt \quad (2.84)$$

نسمي  $\eta$  سرعة النواة، فيكون لدينا تقرير أولى:

$$\gamma = \frac{1}{\hbar} \int \Delta\eta \frac{\partial \varepsilon_n}{\eta} \quad (2.85)$$

أو أيضاً:

$$\gamma = \frac{\Delta\eta}{\hbar} \frac{\Delta\varepsilon_n}{v_\eta} \quad (2.86)$$

ويعطى الشرط الدقيق لتطبيق التقرير الكاظم  $\gamma \gg 1$ . ويكون هذا الشرط محققاً كلما كان الفرق الطيفي  $\Delta\varepsilon_n$  بين الحالات المستقرة كبيراً، وكلما كانت النوى ذات سرعات بطيئة ( $v_\eta$  صغيرة، مما يعني أن طاقة التهيج الحراري صغيرة).

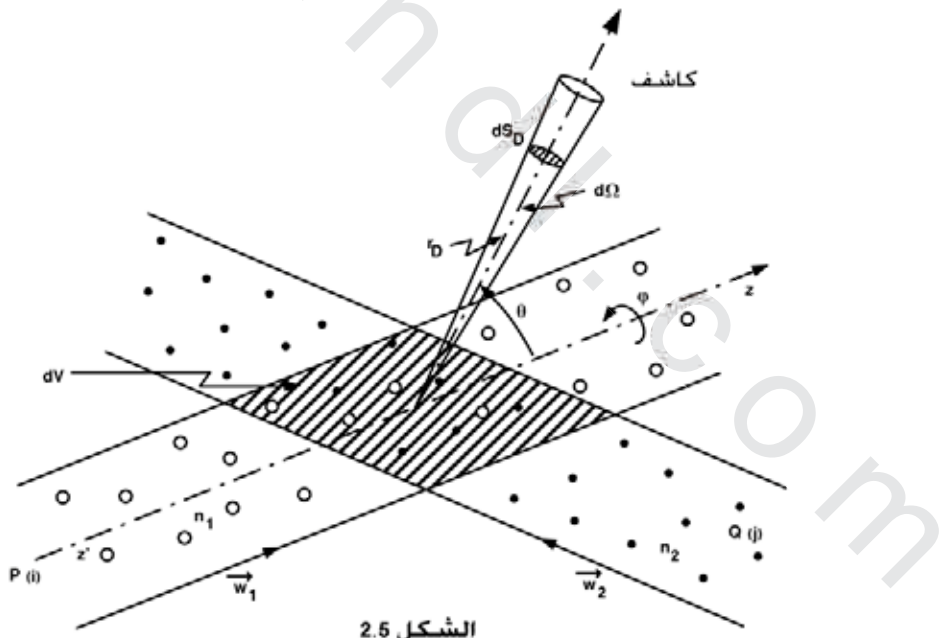
## 4.2- المقطع الفعال

### 4.2.1- المقطع الفعال التفاضلي

لتأخذ دقيقين<sup>(1)</sup> متلقعين من الجسيمات (i) P و (j) Q في الفراغ، تمثل  $\omega_1$  و  $\omega_2$  حالتين داخليتين لطاقتيهما (الشكل 2.5).  $n_1$  و  $n_2$  كثافتهما العددية،  $w_1$  و  $w_2$  سرعاها الموجهان.

تعرف الحزمتان في الفراغ منطقة تصادم حجمها  $dV$ ، يمكن المكشوف عن نواتج التصادم (k) بوضع حساس على سطح المدخل  $dS_D$  يبعد مسافة  $r_D$  عن المنطقة  $dV$ ، هذه المنطقة تُرى ضمن زاوية صلبة معطاة بالعلاقة:

$$d\Omega = \frac{dS_D}{r_D^2} = \sin\theta d\theta d\phi \quad (2.87)$$



- 1 - دفق أو تيار : سخراج الماء من مضخة water jet

تتعلق طبيعة الجسيمات المكتشفة (k) بنوع التصادم:

- إذا كان الصدم مرنًا (2.2)، تكون الجسيمات مماثلة لجسيمات الحزمتين الواردتين (i) و (j).

- وإذا كان الصدم غير مرن (2.3)، تكون الجسيمات مشابهة للجسيمات الأصلية، ولكنها مختلفة في حالاتها الداخلية (k)، (l)، (Q).

- أما إذا كان الصدم تفاعلياً (reactive) (2.4)، تكون النواتج (k) و (l) مختلفتين عن (i) و (j) الابتدائيتين.

لتبسيط الوصف الفيزيائي للتصادم، سنفترض أن كل حزمة هي وحيدة السرعة (monokinetic) (للجسيمات السرعة الموجهة نفسها) وأن الكثافتين  $n_1$  و  $n_2$  ضعيفتان، بما يكفي لإهمال التفاعلات (interactions) ضمن الحزمة الواحدة.

يبدو من الواضح، بعد هذه الشروط، أن عدد الجسيمات  $d^3N$  التي يشعر بها الحساس (الكافش) يتعلق بنوعين من المتحولات:

- المتحولات المتعلقة بالفراغ والزمن

أي:

حجم التصادم  $dV$

زاوية المراقبة الصلبة  $d\Omega$

زمن التفاعل  $dt$

- المتحولات المتعلقة بالجسيمات

أي:

الكثافتان  $n_1$  و  $n_2$

السرعة النسبية  $g = |\vec{w}_1 - \vec{w}_2|$

نشير إلى أن  $d^3N$  متاسب مع كل من المتحولات السابقة، مما يمكن أن يكتب:

$$d^3N \propto dV d\Omega dt n_1 n_2 g \quad (2.88)$$

وتكون معادلة الأبعاد في (2.88) محققة إذا أدخلنا معامل تناسب نسمية

المقطع الفعال التفاضلي ويرمز له بـ  $\sigma(g, \theta, \varphi)$  :

$$\sigma(g, \theta, \varphi) = \frac{d^3N}{n_1 n_2 g dt dV d\Omega} \quad (2.89)$$

هذا المتحول له أبعاد سطح ويتعلق بالسرعة النسبية  $g$  و بالإحداثيين  $\theta$

و  $\varphi$ .

حين تكون الطاقة الحركية النسبية للجسيمات أكبر أو تساوي طاقة

التهيج الحراري القياسي [الشروط النظامية لدرجة الحرارة] ويكون طول دي بروي De Broglie صغيراً بالنسبة للأبعاد المميزة للجزيئة (2.7) ضمن هذه الشروط، يمكن وصف الصدم بطريقة شبه تقليدية وذلك باخذ المسارات الفردية للجسيمات.

يمكن إذاً استخدام نظرية الحركة النسبية (الفقرة 2.2.2) بتبدل جملة

الدفقين وحيدى السرعة المتقاطعين (أو المتصالبين) (الشكل 2.5) بحزمة جسيمات ذات سطح  $S_1$  و كثافة  $n_1$  و سرعة  $g$  تعبر وسطاً غازياً من الجسيمات (j) ساكناً (غير متحرك) (الشكل 2.6).

تكتب العلاقة (2.89) أيضاً، بإدخال السطح  $S_1$  للحزمة (i) الواردة:

$$d^3N = \frac{\sigma(g, \theta, \varphi)}{S_1} n_1 S_1 g dt n_2 dV d\Omega \quad (2.90)$$

وبفرض أن:

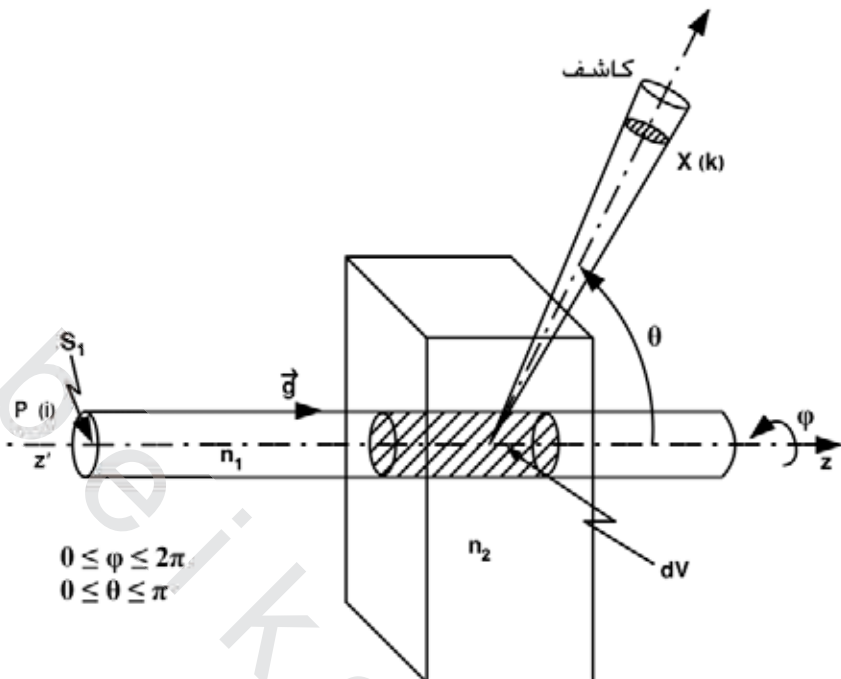
$$dN_1 = n_1 S_1 g dt \quad (2.91)$$

حيث  $S_1 g dt$  هو الحجم الممسوح من قبل الجسيمات ذات الكثافة  $n_1$  أثناء

الزمن  $dt$  ، و  $dN_1$  عدد الجسيمات الواردة المحتواة ضمن حجم التفاعل  $dV$  المعروف كما ورد سابقاً.

يعطى عدد الجسيمات (j) الموجود في هذا الحجم بالعلاقة:

$$dN_2 = n_2 dV \quad (2.92)$$



الشكل 2.6

أي يصبح عدد الجسيمات المسجلة بحسب الاتجاهين  $\theta$  ،  $\phi$  ، والناتجة عن تصادم  $1$  و  $2$   $dN_2$  ضمن الحجم  $dV$ ، وأثناء الزمن  $dt$ ، معطى وفقاً لـ (2.90) بالعلاقة التالية:

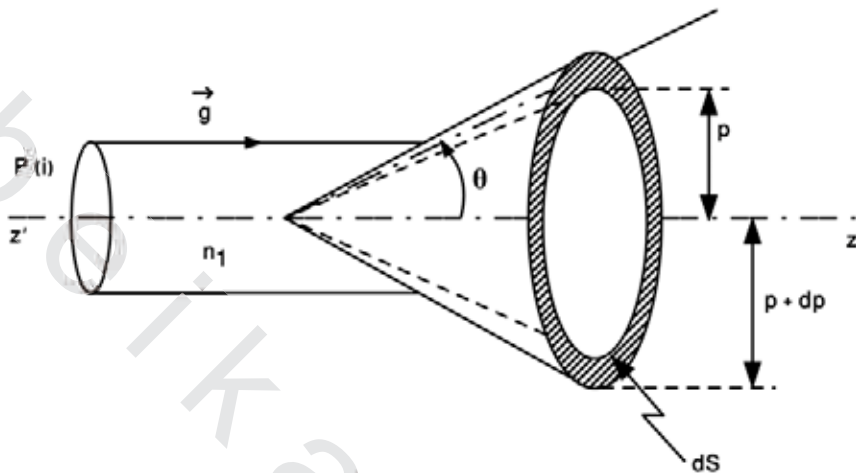
$$d^3N = dN_1 dN_2 \frac{\sigma(g, \theta, \phi)}{S_1} d\Omega \quad (2.93)$$

حيث إن التصادمات تكون متاحية (وهي خاصة ناتجة من توزع  $(i)$  و  $(j)$  في الفراغ ومن شكل كمون التفاعل)، ويبقى القياس نفسه حين يتحرك الحساس على محيط دائرة يقع مركزها على المحور  $z'$  (الشكل 2.6). أما المقطع الفعال التفاضلي  $\sigma(g, \theta)$  فلا يتعلق إلا بالزاوية  $\theta$ . وبإجراء التكامل الجزئي على الزاوية الصلبة  $d\Omega$  نحصل على عدد الجسيمات الملحوظة بحسب الاتجاه  $\theta$  ضمن إطار

قدره  $2\pi \sin \theta d\theta$  يحيط بالمحور  $z'$  أي إن (2.93) تصبح على النحو:

$$d^3N = dN_1 dN_2 \frac{\sigma(g, \theta)}{S_1} 2\pi \sin \theta d\theta \quad (2.94)$$

يمكن أيضاً إيجاد هذا العدد بالقول إن الجسيمات المسجلة بحسب الزاوية  $\theta$  هي الجسيمات التي يكون وسيط الصدم لها متراوحاً ما بين  $p$  و  $p+dp$  (الفقرة 2.2.2) أي الجسيمات التي تجتاز الإطار ذا السطح:

$$dS = 2 \pi p dp \quad (2.95)$$


الشكل 2.7

إذا ما أخذ التقرير الجديد بالحسبان، فإن العدد  $d^3N$  سيتعلق بمجموعتين جديدين من المتغيرات هما:

- المتغيرات المتعلقة بالفراغ والزمن:

حجم التصادم  $dV$

سطح إطار الصدم  $dS$

مدة التفاعل  $dt$

- المتغيرات المتعلقة بالجسيمات (التي تبقى ثابتة)، أي:

الكثافتان  $n_1$  و  $n_2$

السرعة النسبية  $g$

ونكتب أن  $d^3N$  متناسب مع كلٌّ من هذه المتغيرات:

$$d^3N \propto dV dS dt n_1 n_2 g \quad (2.96)$$

إن وسيط الصدم  $p$  لا يكفي لتعيين مميزات (characteristics) الجسيمات المسجلة بحسب الاتجاه  $\theta$ . ويمكن لبعض الجسيمات أن توجد في حالات إثارة (excitation) داخلية

مختلفة، وأن يكون لها وسيط الصدم  $p$  نفسه. لإيجاد العدد المحتمل  $d^3N$  للأنواع (الملحوظة وفق الاتجاه  $\theta$ ) والتي لها حالة الإثارة الداخلية  $k$ ,  $l$ ,  $m$ , العينة نفسها، يجب ضرب باحتمال الانتقال  $P_{ij,kl}(g, p)$  بين الحالات الداخلية  $i, j$  و  $k, l$ , أي:

$$d^3N = P_{ij,kl}(g, p) dV dS dt n_1 n_2 g \quad (2.97)$$

نلاحظ أن  $P_{ij,kl}(g, p)$  هوتابع للسرعة النسبية  $g$  ولوسيط الصدم  $p$ ، وتعلق التحولات الداخلية أشاء التصادم بالطاقة الحركية النسبية للجسيمات، وبالتالي توزع الفراغي لمركباتها العنصرية.

إذا أخذنا بالحسبان (2.91) و (2.92) نحصل على:

$$d^3N = dN_1 dN_2 \frac{dS}{S_1} P_{ij,kl}(g, p) \quad (2.98)$$

ويمكن أيضاً أن نكتب (2.95) :

$$d^3N = dN_1 dN_2 \frac{P_{ij,kl}(g, p)}{2\pi p dp} \quad (2.99)$$

بمقارنة (2.94) و (2.99) نحصل على علاقة بسيطة بين المقطع الفعال التقاضي واحتمال الانتقال ووسيط الصدم:

$$\sigma(g, \theta) \sin \theta d\theta = P_{ij,kl}(g, p) p dp \quad (2.100)$$

يجب إتمام النتائج السابقة الصالحة من أجل جميع أنواع الصدم (مرن، أو غير مرن، أو تفاعلي) من أجل كل حالة تطبيقية خاصة:

- في الصدم المرن (حيث لا تغير في الحالة الداخلية) يكون:

$$P_{ij,kl}(g, p) = 1 \quad (2.101)$$

- في الصدم غير المرن والتفاعلية (استظام - احتمال الانتقال من أجل مسار معين):

$$\sum_{kl} P_{ij,kl}(g, p) = 1 \quad (2.102)$$

#### 2.4.2. التصادمات المرنة وغير المرنة

في المقدمة (الفقرة 2.1) حلنا الأنواع الثلاثة الممكنة للصدم، ولاحظنا أن الصدم المرن لا يغير الحالات الداخلية للطاقة. وهذا يوافق الحالة الخاصة

(2.101)، وتكون بالتالي العلاقة (2.100) بين المقطع الفعال ووسيط الصدم سهلة نسبياً.

أما في الحالة العملية، فتتعلق طبيعة الصدم (مرن أو غير مرن) بطاقة التهيج الحراري للجسيمات التي تُعين طاقتها الحركية (1.7) أثناء الصدم.

بما أن الطاقة الداخلية تكون مكتملة، وأن تبادلات الطاقة الخارجية (الحركية)- الداخلية (المكتملة) ليست ممكنة إلا إذا كانت الطاقة الحركية للجسيمات الداخلة في التصادم أعلى من عتبة معينة بالحالات الداخلية (2.1) للجسيمات المعتبرة (ذرات، جزيئات، أيونات).

ونشير، بشكل خاص، إلى أن طاقات الإثارة الإلكترونية، والاهتزازية، والدورانية تحقق دائمًا المتراجحة التالية:

$$E_i^e \gg E_i^y \gg E_i^f \quad (2.103)$$

فالطاقة اللازمة لإثارة ذرة أو جزيئة أو أيون هي من مرتبة بضعة إلكترون فولت من أجل السويات الإلكترونية  $E_i^e$  ، ومن مرتبة جزء من عشرة من الإلكترون فولت من أجل السويات الاهتزازية  $E_i^y$  ، وأقل من مرتبة جزء من مائة من الإلكترون فولت من أجل السويات الدورانية  $E_i^f$  . أما الطاقة اللازمة للتأين فهي من مرتبة الطاقة نفسها اللازمة للإثارة الإلكترونية.

تكون الذرات والجزيئات في غاز معتدل بدرجة حرارة الغرفة (300K) ذات طاقة تهيج حراري متوسطة أكبر من الطاقة اللازمة لإثارة السويات الدورانية  $E_i^f = 11600\text{eV}$  )، حيث يكون لدينا :

$$\Delta E_i^f < kT < \Delta E_i^y \quad (2.104)$$

حيث يرمز  $\Delta E_i$  لفرق الطاقة بين سويتين متجاورتين. ويبقى العدد الكوانتي العائد للسويات الدورانية كبيراً دائماً في الجزيئات في حين أن السويات الاهتزازية تبقى فارغة. ففي البلازما الباردة التي لها درجة الحرارة نفسها (300K) تمثل سويات الإثارة ( $E_i^e, E_i^y, E_i^f$ ) بنتيجة التصادم الإلكتروني، لأن الإلكترونات تكون قد اكتسبت طاقة حركية عالية بفعل الحقل الكهربائي الخارجي المطبق (تكون درجة حرارتها إذاً، ولهذا السبب، أكبر بكثير من درجة حرارة الجسيمات المعتدلة).

في حالة التصادمات غير المرنة، تحصل تبادلات طاقية بين درجات الحرية الداخلية والخارجية، ويجب علينا أن نكتب الانحفاظ الكلي للطاقة أثناء الصدم. وتنطبق معادلة الانحفاظ (2.41) من أجل الجملة المعزولة بـ:

$$K_0 + E_{ij} = K + E_{kl} \quad (2.105)$$

فالطاقة الحركية الكلية  $K$  (2.27) تكتب باعتبار السرعات (2.15) و (2.16) :

$$K = K_c + K_r \quad (2.106)$$

وأن:

$$K_c = \frac{1}{2} M w_c^2 \quad (2.107)$$

و:

$$K_r = \frac{1}{2} \mu g^2 \quad (2.108)$$

حيث  $M$  و  $\mu$  معرفتان بالعلاقةين (2.23) و (2.24)،  $K_c$  و  $K_r$  يمثلان بالترتيب الطاقتين الحركيتين لمركز الكتلة والحركة النسبية للجسيمات على الترتيب.

وتكتب الطاقة الداخلية الكلية:

$$E_{ij} = E_i + E_j \quad (2.109)$$

حيث تعرف  $E_i$  بالعلاقة (2.1) وتصبح المعادلة (2.105) :

$$K_{co} + K_{ro} + E_{ij} = K_c + K_r + E_{kl} \quad (2.110)$$

وبملاحظة أن الاندفاع الكلي يبقى محفوظاً أثناء عملية الصدم في الجملة

المعزولة (2.17) يكون لدينا:

$$K_{co} = K_c \quad (2.111)$$

ومنه:

$$K_{ro} + E_{ij} = K_r + E_{kl} \quad (2.112)$$

وإذا اعتبرنا  $\Delta E_{ij,kl}$  التغير الكلي للطاقة الداخلية أثناء عملية الصدم، فإنه

يكون:

$$E_{kl} = E_{ij} - \Delta E_{ij,kl} \quad (2.113)$$

مما يفرض، لتحقيق المتراجحة (2.112) أن يكون:

$$K_r = K_{ro} + \Delta E_{ij,kl} \quad (2.114)$$

يلاحظ أن  $K_{ro}$  ، تبدو وكأنها الطاقة الحركية الحرة أثناء الصدم.

ويمكن أن نميز نوعين من الصدم غير المرن:

- الصدم الماصل للطاقة endoergic (صدم من النوع الأول)، ويتميز

بالشرط:

$$\Delta E_{ij,kl} < 0 \quad (2.115)$$

- الصدم الطارد للطاقة exoergic (صدم من النوع الثاني المدعو أيضاً فائق

المرنة super elastic) حيث:

$$\Delta E_{ij,kl} > 0 \quad (2.116)$$

وفي جميع الحالات يجب أن تكون الطاقة الحركية بعد الصدم أكبر أو

تساوي الصفر أي:

$$K_r = K_{ro} + \Delta E_{ij,kl} \geq 0 \quad (2.117)$$

هذا الشرط محقق دائماً من أجل التصادمات من النوع الثاني لأن  $\Delta E_{ij,kl}$

يكون دائماً موجباً. في حين أنه في حالة التصادمات من النوع الأول هناك عتبة

هي:

$$K_{ro} \geq |\Delta E_{ij,kl}| \quad (2.118)$$

وهي الطاقة الحركية (قبل الصدم) الدنيا الالزامية من أجل تحقيق تبادل

طاقي (بعد الصدم تكون الطاقة الحركية النسبية معدومة).

يحصل من (2.108) على السرعة النسبية الأصغرية:

$$g_0 \geq \left( \frac{2|\Delta E_{ij,kl}|}{\mu} \right)^{1/2} \quad (2.119)$$

ويلاحظ أخيراً أن التصادمات من النوع الثاني تعطي من الطاقة ما تأخذه

الجملة تحت شكل طاقة حركية (2.114)، ومنه اسم الصدم فائق المرنة super

elastic (السرعة النسبية بعد الصدم أكبر).

### 3.4.2- المقطع الفعال الكلي

حين عرفنا المقطع الفعال التفاضلي، لم نتطرق لمسألة اختيار جملة الإحداثيات. في الحالة العملية تتعلق زوايا المراقبة  $\theta$  و  $\varphi$  بهذا الاختيار، ومنه يكون المقطع الفعال الكلي  $\sigma_0(g)$  غير المتعلق بـ  $\theta$  أو  $\varphi$  ، وبالكاملة على الزاوية الصلبة  $d\Omega$  يكون لدينا دائمًا [26] ما يلي:

$$\sigma(g, \theta_0, \varphi_0) d\Omega_0 = \sigma(g, \theta_c, \varphi_c) d\Omega_c \quad (2.120)$$

حيث يشير الدليلان  $0$  و  $c$  بالترقيب إلى الإحداثيات المرتبطة بالمخبر وبمركز الكتلة.

يمكتب المقطع الفعال الكلي إذاً:

$$\sigma_0(g) = \int_0^{\pi} \int_0^{2\pi} \sigma(g, \theta, \varphi) \sin \theta d\theta d\varphi \quad (2.121)$$

أو بالأخذ بالحسابان (2.100) يكون:

$$\sigma_0(g) = 2\pi \int_0^{\infty} P_{ij,kl}(g, p) p dp \quad (2.122)$$